

1966年の26号台風による静岡県吉原海岸における
異常高潮発生の理論的背景とその対策について

日本大学工学部

西本勝之

Abstract

1966年秋の26号台風によって静岡県吉原海岸には異常高潮が発生し、それが当時高さ13mのbreakwaterを越えて陸上深く浸入して多くの命を失い、また多額の物質的損害をもたらしたことはまだ記憶に新しいところと思う。この論文においてはこの異常高潮発生の理論的情景および高潮に対する研究の結果が報告されている。すなわち高潮を重力場として取扱い、流体力学の基礎理論から出発して駿河湾の形、海底の形および駿河湾に対する吉原海岸の相対的位置を理論的に考察することによって吉原海岸が異常高潮に襲われたことの必然性を示し、条件さえ整えば当時の高潮以上に高いことをもつ異常高潮の発生があり得ることを示した。そしてさらにこれに対する防御の方法として著者は double layer breakwater 或は triple layer breakwater を示し、特に double layer breakwater についてはその間隔および片の breakwater の高さをどのようにして考査を行い、その結果も併せて報告した。

Chap. 1. Theoretical consideration

§1. Introduction

横座標 x 軸に沿ってその断面積 S が連続的に漸次変化する canalにおいては long water wave の表面の vertical displacement y はつきの偏微分方程式の解として求められる。⁽¹⁾

$$\frac{\partial^2 y}{\partial t^2} = \frac{g}{b} \frac{\partial}{\partial x} \left(S \frac{\partial y}{\partial x} \right) \quad \dots \dots (1). \quad \text{これより} \quad \frac{\partial^2 y}{\partial t^2} = \frac{g}{b} \frac{\partial}{\partial x} \left(b h \frac{\partial y}{\partial x} \right) \quad \dots \dots (2) \quad E) \text{等式}.$$

ここに t , y , b , h はそれぞれ時間、重力による加速度、canal の幅および深さである。

ここで canal mouthにおいては water elevation y は周期的に変化するもよし、 ω をその angular frequency とし

$$y(x, t) = e^{i\omega t} X(x) \quad \dots \dots (3) \quad [0 \leq x \leq l, l: \text{canal の長さ}]$$

とおくと式(3)を(2)に用いて $X(x)$ が満足すべき微分方程式として次式を得る。すなわち

$$\frac{g}{b} \frac{d}{dx} \left(b h \frac{dX}{dx} \right) + \omega^2 X = 0. \quad \dots \dots (4)$$

§2. Solutions in the case of $b = K_1 x^{\lambda_1}$ and $h = K_2 x^{\lambda_2}$

$\lambda_2 \neq 2^*$ の場合は $b = K_1 x^{\lambda_1}$, $h = K_2 x^{\lambda_2}$ [K_1, K_2 ; const.] を式(4)に用いると式(4)は

$$\frac{d^2 X}{dx^2} + \frac{(\lambda_1 + \lambda_2)}{x} \frac{dX}{dx} + \frac{\sigma^2}{x^{\lambda_2}} X = 0 \quad \dots \dots (5) \quad [\sigma = \frac{\omega}{\sqrt{g K_2}}]$$

となり、この方程式の一般解は次通りである。

$$X(x) = x^{\frac{1-(\lambda_1+\lambda_2)}{2}} \left[A J_{\frac{1-(\lambda_1+\lambda_2)}{2}} \left\{ \frac{2\omega}{(2-\lambda_2)\sqrt{g K_2}} x^{\frac{2-\lambda_2}{2}} \right\} + B Y_{\frac{1-(\lambda_1+\lambda_2)}{2}} \left\{ \frac{2\omega}{(2-\lambda_2)\sqrt{g K_2}} x^{\frac{2-\lambda_2}{2}} \right\} \right] \quad \dots \dots (6)$$

ただし J は第1種の Bessel Function で、 Y は第2種の Bessel Function である。

§.3. Consideration on the water elevation in some special section's canals

若干の特別な断面をもつ canal における water wave の vertical elevation は Table 1. に示される通りで、いづれも境界条件 $y(l, t) = y_0 \cos \omega t \dots (7)$ を満足する解である。Table 1. の No. [I], No. [II], ..., No. [XII] の解に対する canal の形状は少しあり Fig. 1, Fig. 2, ..., Fig. 12 に示される通りである。[実験的な結果の報告がある⁽²⁾]。

Katsuyuki NISHIMOTO

Table 1. List of the solutions for some sets of λ_1 and λ_2 , under the boundary condition $y(l, t) = y_0 \cos \omega t$.

No.	λ_1	λ_2	Solution under the boundary condition $y(l, t) = y_0 \cos \omega t$
[I]	0	0	$y_0 \frac{\cos \frac{\omega}{\sqrt{g K_2}} z}{\cos \frac{\omega}{\sqrt{g K_2}} l} \cos \omega t$
[II]	1	0	$y_0 \frac{J_0 \left(\frac{\omega}{\sqrt{g K_2}} z \right)}{J_0 \left(\frac{\omega}{\sqrt{g K_2}} l \right)} \cos \omega t$
[III]	0	1	$y_0 \frac{J_0 \left(\frac{2\omega}{\sqrt{g K_2}} z^{1/2} \right)}{J_0 \left(\frac{2\omega}{\sqrt{g K_2}} l^{1/2} \right)} \cos \omega t$
[IV]	1	1	$y_0 \frac{z^{-1/2} J_1 \left(\frac{2\omega}{\sqrt{g K_2}} z^{1/2} \right)}{l^{-1/2} J_{1/2} \left(\frac{2\omega}{\sqrt{g K_2}} l^{1/2} \right)} \cos \omega t$
[V]	2	0	$y_0 \frac{x^{-1/2} J_{1/2} \left(\frac{\omega}{\sqrt{g K_2}} z \right)}{l^{-1/2} J_{1/2} \left(\frac{\omega}{\sqrt{g K_2}} l \right)} \cos \omega t$
[VI]	2	1	$y_0 \frac{x^{-1/2} J_2 \left(\frac{2\omega}{\sqrt{g K_2}} z^{1/2} \right)}{l^{-1/2} J_2 \left(\frac{2\omega}{\sqrt{g K_2}} l^{1/2} \right)} \cos \omega t$
[VII]	2	$\frac{1}{2}$	$y_0 \frac{x^{-3/4} J_1 \left(\frac{4}{3} \frac{\omega}{\sqrt{g K_2}} z^{3/4} \right)}{l^{-3/4} J_1 \left(\frac{4}{3} \frac{\omega}{\sqrt{g K_2}} l^{3/4} \right)} \cos \omega t$
[VIII]	$\frac{1}{2}$	1	$y_0 \frac{x^{-1/4} J_{1/2} \left(\frac{2\omega}{\sqrt{g K_2}} z^{1/2} \right)}{l^{-1/4} J_{1/2} \left(\frac{2\omega}{\sqrt{g K_2}} l^{1/2} \right)} \cos \omega t$
[IX]	1	$\frac{1}{2}$	$y_0 \frac{x^{-1/4} J_{1/2} \left(\frac{4}{3} \frac{\omega}{\sqrt{g K_2}} z^{3/4} \right)}{l^{-1/4} J_{1/2} \left(\frac{4}{3} \frac{\omega}{\sqrt{g K_2}} l^{3/4} \right)} \cos \omega t$
[X]	$\frac{1}{2}$	$\frac{1}{2}$	$y_0 \frac{J_0 \left(\frac{4}{3} \frac{\omega}{\sqrt{g K_2}} z^{3/4} \right)}{J_0 \left(\frac{4}{3} \frac{\omega}{\sqrt{g K_2}} l^{3/4} \right)} \cos \omega t$
[XI]	$\frac{1}{2}$	0	$y_0 \frac{x^{1/4} J_{-1/4} \left(\frac{\omega}{\sqrt{g K_2}} z \right)}{l^{1/4} J_{-1/4} \left(\frac{\omega}{\sqrt{g K_2}} l \right)} \cos \omega t$
[XII]	0	$\frac{1}{2}$	$y_0 \frac{x^{1/4} J_{-1/3} \left(\frac{4}{3} \frac{\omega}{\sqrt{g K_2}} z^{3/4} \right)}{l^{1/4} J_{-1/3} \left(\frac{4}{3} \frac{\omega}{\sqrt{g K_2}} l^{3/4} \right)} \cos \omega t$
[XIII]	0	2	$y_0 \frac{x^{-1+\sqrt{1-4\alpha^2}/2} \cos \omega t}{l^{-1+\sqrt{1-4\alpha^2}/2} \left[4\alpha^2 \pm 1 \right]} \quad [\alpha^2 = \frac{\omega^2}{g K_2}]$
[XIV]	1	2	$y_0 \frac{x^{-1} \cos \omega t}{l^{-1} \log l}, \quad y_0 \frac{x^{-1} \log x}{l^{-1} \log l} \cos \omega t \quad [\sigma^2 = 1]$
[XV]	$\frac{1}{2}$	2	$y_0 \frac{x^{-3/4} \cos \omega t}{l^{-3/4} \log l}, \quad y_0 \frac{x^{-3/4} \log x}{l^{-3/4} \log l} \cos \omega t \quad \left[\alpha^2 = \frac{1}{4} \left(\frac{3}{2} \right)^2 \right]$

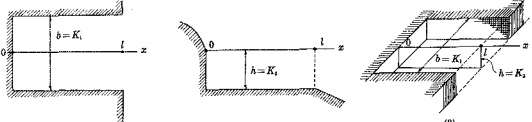


Fig. 1

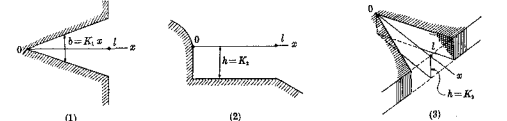


Fig. 2

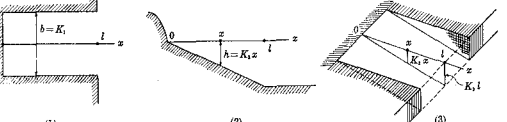


Fig. 3

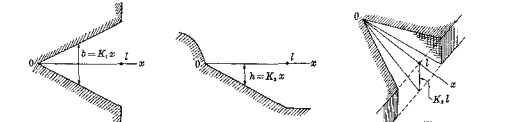


Fig. 4

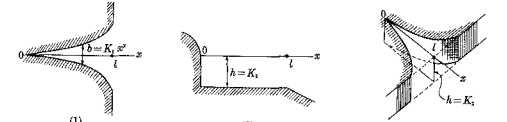


Fig. 5

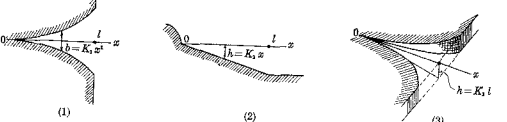


Fig. 6

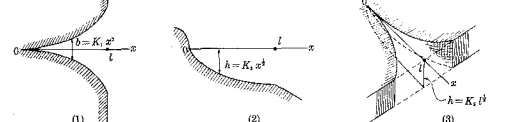


Fig. 7

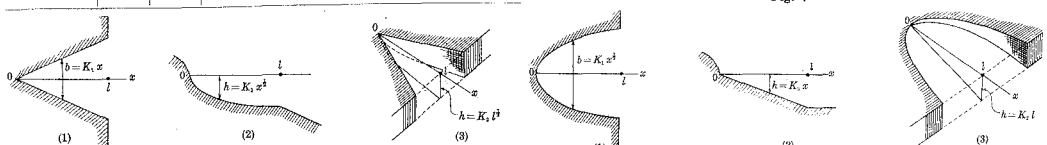


Fig. 8

Fig. 9

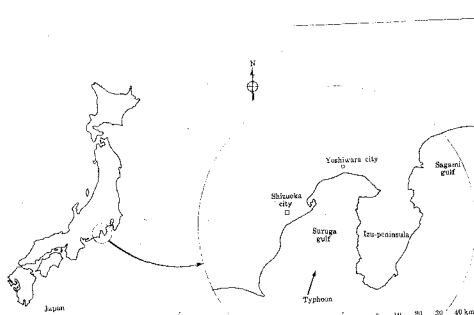


Fig. 14

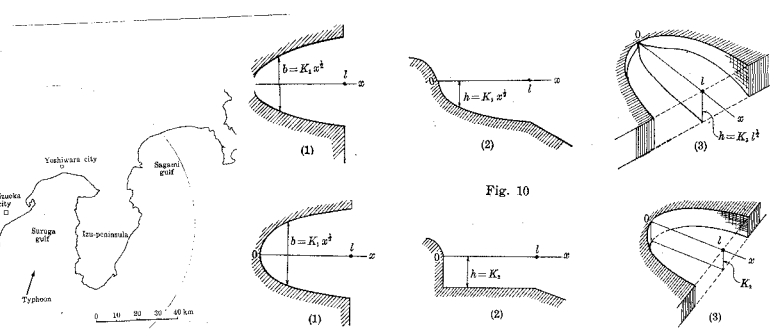


Fig. 10

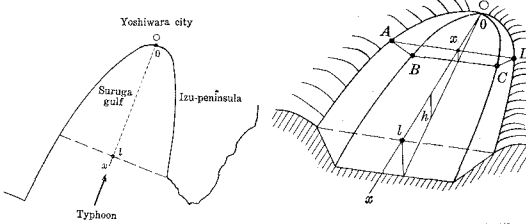


Fig. 15

Fig. 14

Yoshiwara city

Izu-peninsula

$$AD = b_1 = K_1 x^{1/2}, \quad BC = b_2 = K_2 x^{1/2}$$

Fig. 16

$$h = kx$$

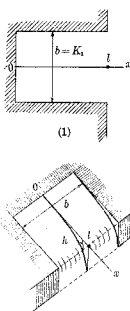


Fig. 11

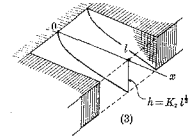


Fig. 12

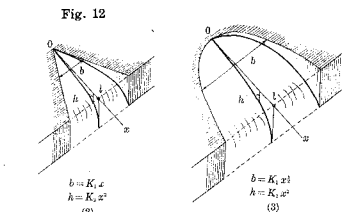


Fig. 13

§4. Conclusion

Table 1. の解から明らかのように一般に

$$\frac{2}{(2-\lambda_2)} \cdot \frac{\omega}{\sqrt{gK_2}} l^{\frac{2-\lambda_2}{2}} = a_m \quad [m=1, 2, 3, \dots] \dots (8) \quad \text{"ある } a_m \text{ が"}$$

$$J_{\{1-(\lambda_1+\lambda_2)\}/(2-\lambda_2)}(\xi) = 0 \dots (9) \quad \text{あるいは } J_{\{-1-(\lambda_1+\lambda_2)\}/(2-\lambda_2}}(\xi) = 0 \dots (10)$$

の正根であるときは

$$y_{\max}(0, t) = \infty \dots (11) \quad \text{となることがわかる。}$$

Chap. 2. On the extraordinary high tide at the Yoshiwara Beach

§5. The water elevation at the Yoshiwara Beach

吉原海岸の駿河湾に対する位置は Fig. 14 の通りで、これを近似的に Fig. 15 のようにみなし、駿河湾を Fig. 16 の形および断面をもつ canal と考えると図の ABCD の断面積は

$$h^{\frac{1}{2}}(b_1 + b_2) = h^{\frac{1}{2}}(K_1 + K_2)x^{\frac{1}{2}} = h^{\frac{1}{2}}Kx^{\frac{3}{2}} \quad [K = \frac{1}{2}(K_1 + K_2)] \text{ となるから式(5)は}$$

$$\frac{d^2X}{dx^2} + \frac{3}{2x} \frac{dX}{dx} + \frac{\sigma^2}{x} X = 0, \quad [\sigma^2 = \frac{\omega^2}{gk}] \dots (12) \quad \text{となり, 条件 } y(l, t) = y_0 \cos \omega t \text{ のもとで"}$$

$$\text{water elevation is } y(x, t) = y_0 \frac{x^{-\frac{1}{2}} J_{\frac{1}{2}}(\frac{2\omega}{\sqrt{gk}} x^{\frac{1}{2}})}{l^{-\frac{1}{2}} J_{\frac{1}{2}}(\frac{2\omega}{\sqrt{gk}} l^{\frac{1}{2}})} \cos \omega t \dots (13) \text{ となり } y_{\max}(0, t) = y_0 \frac{\frac{2\omega}{\sqrt{gk}} l^{\frac{1}{2}}}{\sin(\frac{2\omega}{\sqrt{gk}} l^{\frac{1}{2}})} \dots (14)$$

となる。式(14)によつて前と同様に, もし $2\omega l^{\frac{1}{2}}/\sqrt{gk} = m\pi$ [$m=1, 2, 3, \dots$] $\dots (15)$ ならば

$$y_{\max}(0, t) = \infty \dots (16) \quad \text{となることがわかる。すなわち } g, k, \omega, l \text{ が"丁度"式(15)の関係を満足す}$$

るときは吉原海岸においては異常高潮となることが式(16)によって求めわかる。また $h = \alpha x^n$ [n>0] のときも同様の結果が得られるることは明らかである。

§6. Discussion on the Means of the Protection against the Extraordinary High Tide

[1] 上記の理論の結果によればこの異常高潮を防御することは大変困難である。当時の新聞報道によれば最高の高潮は約21mで、堤防の高さは僅かに13mであり、したがって多大の損失をこうむった。しかし前記の理論によれば、たとえ台風のenergyが小さくとも21m以上の高潮の発生が充分予想されるわけで、我々はこの21m以上の高潮に対しても防御の備えをしなければならぬ。そこで防御の方法として最も効果的かつ経済的なものとして考えられるのはFig.17, Fig.18のよるdouble layer breakwater或は triple layer breakwaterである。

[2] double layer breakwaterの間隔 L_0 と第2堤防の高さ h_2 について [$h_1 > h_2 > 0$]

以下 Fig. 21, Fig. 22 のように問題を単純にする為、堤防の幅はないものとしてある。以下 $h_1 > h_2 > 0$ として、第1堤防の長さ1m当たりの越流量を $V \text{ m}^3$ とするに次式

$$1) L_0 = v t = v \sqrt{\frac{2(h_1 + \delta)}{g}} \quad \left\{ \begin{array}{l} \text{を得る。} \\ h_2 \geq \frac{V}{L_0} \quad [h_2 < h_1] \end{array} \right. \quad \text{A} \quad \text{と} \quad \text{すこし} \quad \text{は} \quad (h_1 + \delta) \quad \text{を} \quad \text{自由落水} \quad \text{す} \\ \text{る。} \quad \text{に} \quad \text{要する} \quad \text{時間} \quad \text{で、} \quad \text{この式に} \quad \text{よる} \quad L_0, \quad h_2 \quad \text{の計算の結果は} \quad \text{Table 2} \quad \text{に示され} \quad \text{る通りである。} \quad \text{この計算式は極めて粗略な計算式である。[Fig. 21 参照]} \quad \text{また下式} \\ 2) L_0 = v t = v \sqrt{\frac{2(h_1 + \delta - h_2)}{g}} \quad \left\{ \begin{array}{l} \text{を得る。} \\ V \leq L_0 h_2 \quad [h_2 < h_1] \end{array} \right. \quad \text{は} \quad (h_1 + \delta - h_2) \quad \text{を} \quad \text{自由落水} \quad \text{す} \\ \text{る。} \quad \text{に} \quad \text{要する} \quad \text{時間} \quad \text{で、} \quad \text{この式と} \quad \text{式} \quad 1) \quad \text{の} \quad \text{結果は} \quad \text{Table 2} \quad \text{に示され} \quad \text{る通りである。} \quad \text{式} \quad 2) \quad \text{によ} \\ \text{る} \quad L_0, \quad h_2 \quad \text{の計算の結果は} \quad \text{Table 3} \quad \text{に示され} \quad \text{る。式} \quad 2) \quad \text{によ} \\ \text{る} \quad \text{計算の方がより精確であるがその結果は式} \quad A \quad \text{によ} \\ \text{る} \quad \text{計算した} \quad \text{ものと余り大きな差異はない。たとえば表} \quad 2) \quad \text{の} \quad ① \quad \text{と表} \quad 3) \quad \text{の} \quad ① \quad \text{を比較} \\ \text{されない。なお二つの堤防の間に侵入した海水は} \\ \text{出来} \quad \text{るだけ早く排水するように第1堤防に片開きの水門を装} \\ \text{備せねばならぬことは勿論であるが之については省略} \quad \text{する。}$$

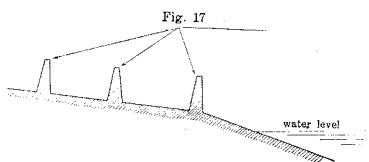
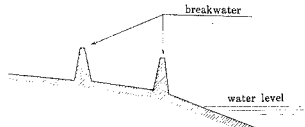


Fig. 18

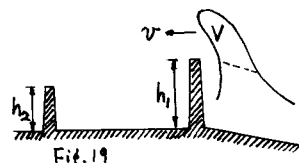


Fig. 19

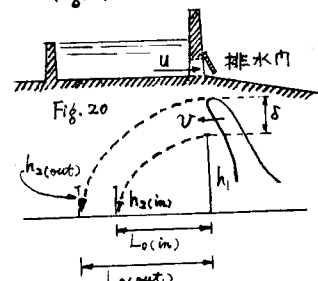


Fig. 20

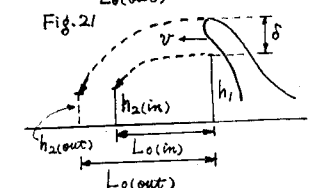


Fig. 21

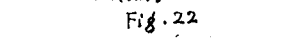


Fig. 22

Table 2.

	$V \text{ m}^3$	$v \text{ m/s}$	$h_1 \text{ m}$	$h_2 \text{ m}$	$L_0 \text{ m}$	$h_{2(\text{out})} \text{ m}$	$L_0(\text{out}) \text{ m}$	備考
(1)	60	10	13	0	3.68	16.29		
	60	10	13	8		2.90	20.70	
(2)	60	20	13	0	1.84	32.54		
	60	20	13	8		1.45	41.40	

Table 3.

(1)	60	10	13	0	4.00	14.98		
	60	10	13	8		3.00	19.95	
(2)	60	20	13	0	1.91	31.36		
	60	20	13	8		1.47	40.67	
(3)	120	10	13	0	9.15	13.11		
	120	10	13	8		6.29	19.09	
(4)	120	20	13	0	4.00	29.96		
	120	20	13	8		3.00	39.90	3解である。